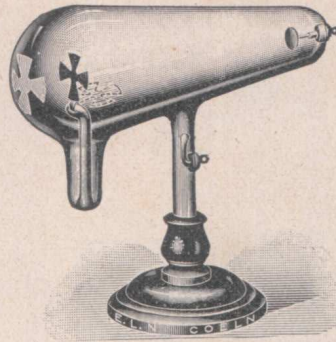
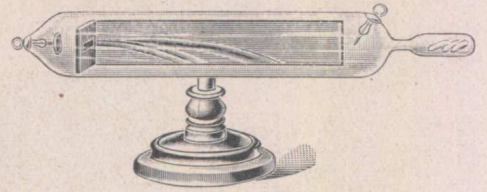




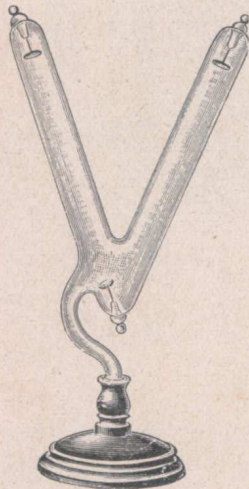
8680. Véase pág. 781.



8688.



8697.



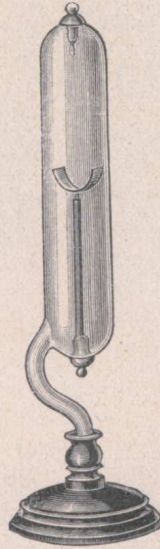
8682.
Véase pág. 781.



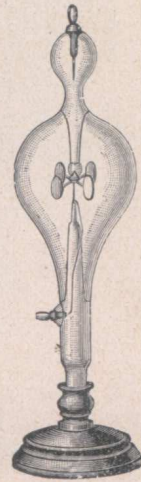
8683.
Véase pág. 781.



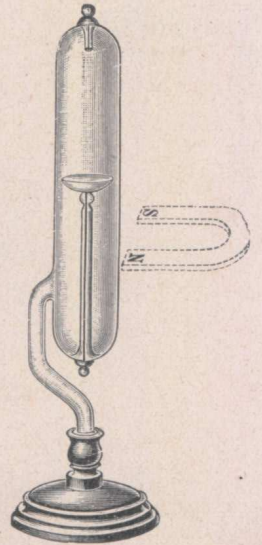
8684.
Véase pág. 781.



8687.



8693.



8703.
Véase pág. 783.

8687. Tubo de vacío con cátodo semicilíndrico. [Fig. $\frac{1}{5}$ del tamaño natural.]	12.—
* 8688. Tubo con una cruz que da sombra. [Fig. $\frac{1}{7}$ del tamaño natural.]	18.—
8689. — modelo mayor	38.—
8690. — de Fleming, con electroimán anular. [Fig. $\frac{1}{5}$ del tamaño natural, pág. 783.]	51.—
El tubo ordinario con la cruz lleva un electroimán que puede ir colocado sobre la parte cilíndrica. Excitando el imán la sombra de la cruz da una vuelta completa, dependiendo esto de la dirección de la corriente en la bobina.	
8691. — de mayor tamaño	72.—
* 8692. Tubo de vacío con una rueda de aletas de mica, que puede correrse sobre unas vías, para demostrar la acción mecánica de la fosforescencia catódica. [Fig. $\frac{1}{5}$ del tamaño natural, pág. 783.]	36.—
8693. Radiómetro con aletas de aluminio cubiertas de mica por uno de los lados. [Fig. $\frac{1}{4}$ del tamaño natural.]	26.—
8694. Aparato radiométrico de Langer. [Fig. $\frac{1}{5}$ del tamaño natural, pág. 783.]	57.—
Este aparato se comporta como un radiómetro; si la descarga pasa por el tubo ancho solamente gira también el radiómetro y siempre en el mismo sentido, independientemente de cual de los electrodos del tubo ancho sea el cátodo.	
* 8695. Desviación de los rayos por medio de un imán. Con pié de madera. [Fig. $\frac{1}{6}$ del tamaño natural, pág. 783.]	20.—
8696. — de mayor tamaño	38.—
8697. — como el no. 8695, pero con un tubo con potasa cáustica, para mostrar la influencia que tiene en la desviación el grado de vacío. Sin imán, pero con pié de madera. [Fig. $\frac{1}{5}$ del tamaño natural.]	25.—
8698. — de mayor tamaño	45.—

Francos